

Energieverlust von Elektronen und Positronen

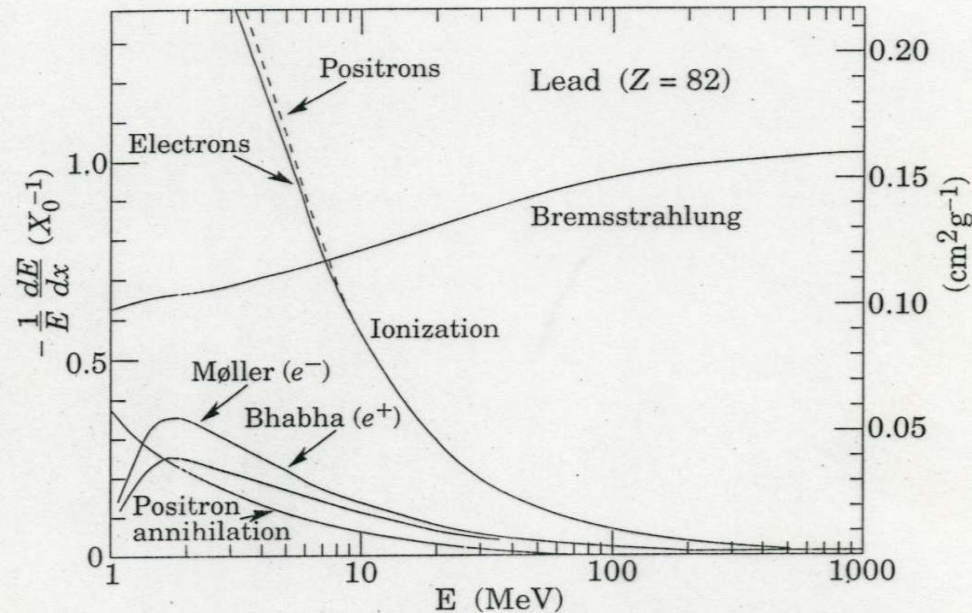
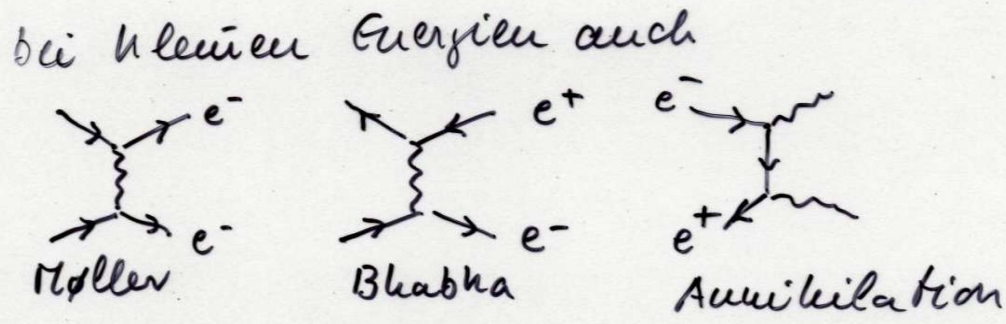


Figure 26.9: Fractional energy loss per radiation length in lead as a function of electron or positron energy. Electron (positron) scattering is considered as ionization when the energy loss per collision is below 0.255 MeV, and as Møller (Bhabha) scattering when it is above. Adapted from Fig. 3.2 from Messel and Crawford, *Electron-Photon Shower Distribution Function Tables for Lead, Copper, and Air Absorbers*, Pergamon Press, 1970. Messel and Crawford use $X_0(\text{Pb}) = 5.82 \text{ g/cm}^2$, but we have modified the figures to reflect the value given in the Table of Atomic and Nuclear Properties of Materials ($X_0(\text{Pb}) = 6.37 \text{ g/cm}^2$).

Photonen

Gesamtabsorptionskoeffizient

$$\delta_{\text{tot}} = \delta_{\text{ph}} + \delta_c + \delta_p$$

$$\mu = \mu_{\text{ph}} + \mu_c + \mu_p \quad \mu_i = n \delta_i = \frac{N_A \rho}{A} \delta_i$$

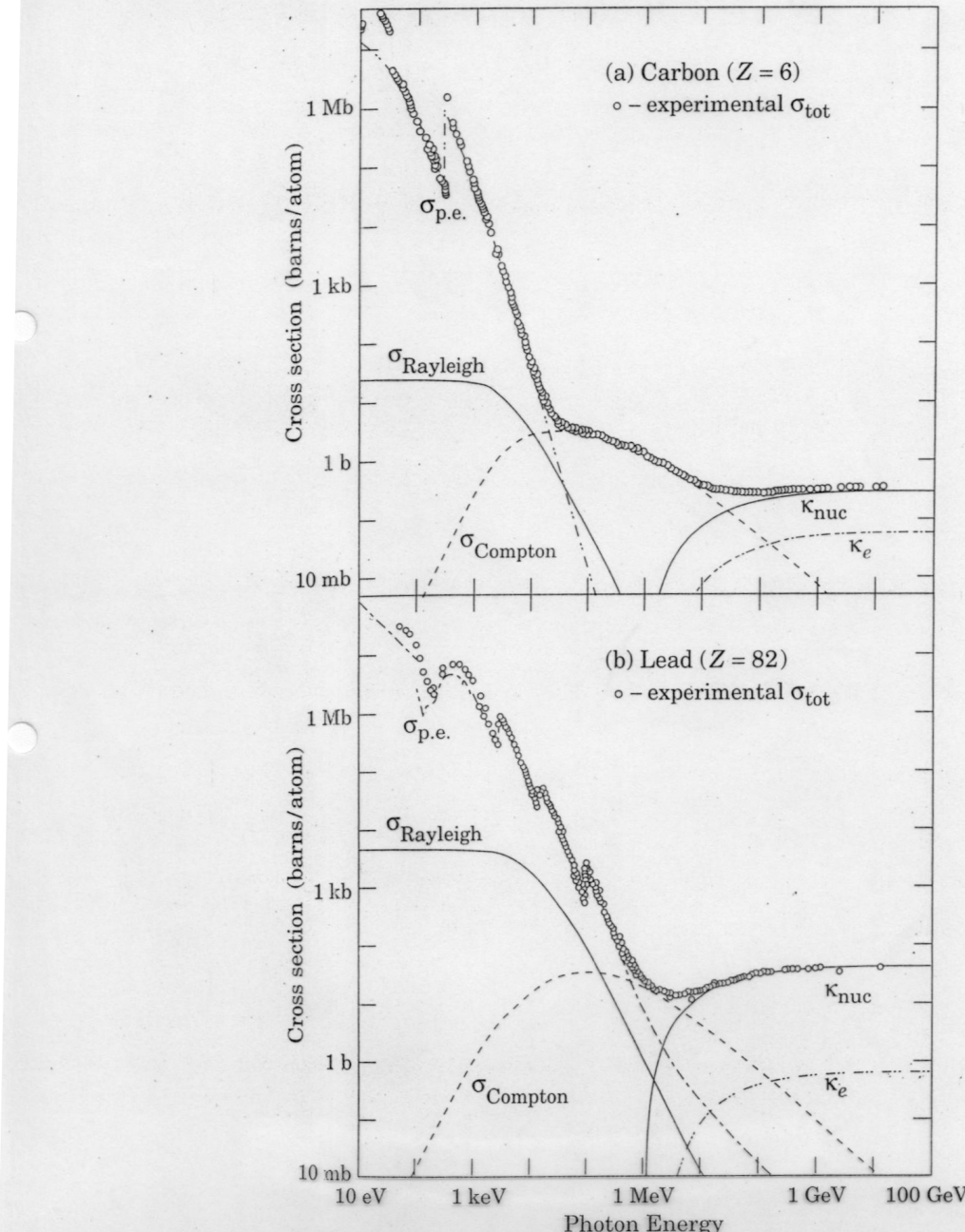


Figure 26.13: Photon total cross sections as a function of energy in carbon and lead, showing the contributions of different

mit wachsender Photon-Energie wird Paarbildung zunehmend dominant
 für Pb über 4 MeV
 für H über 70 MeV

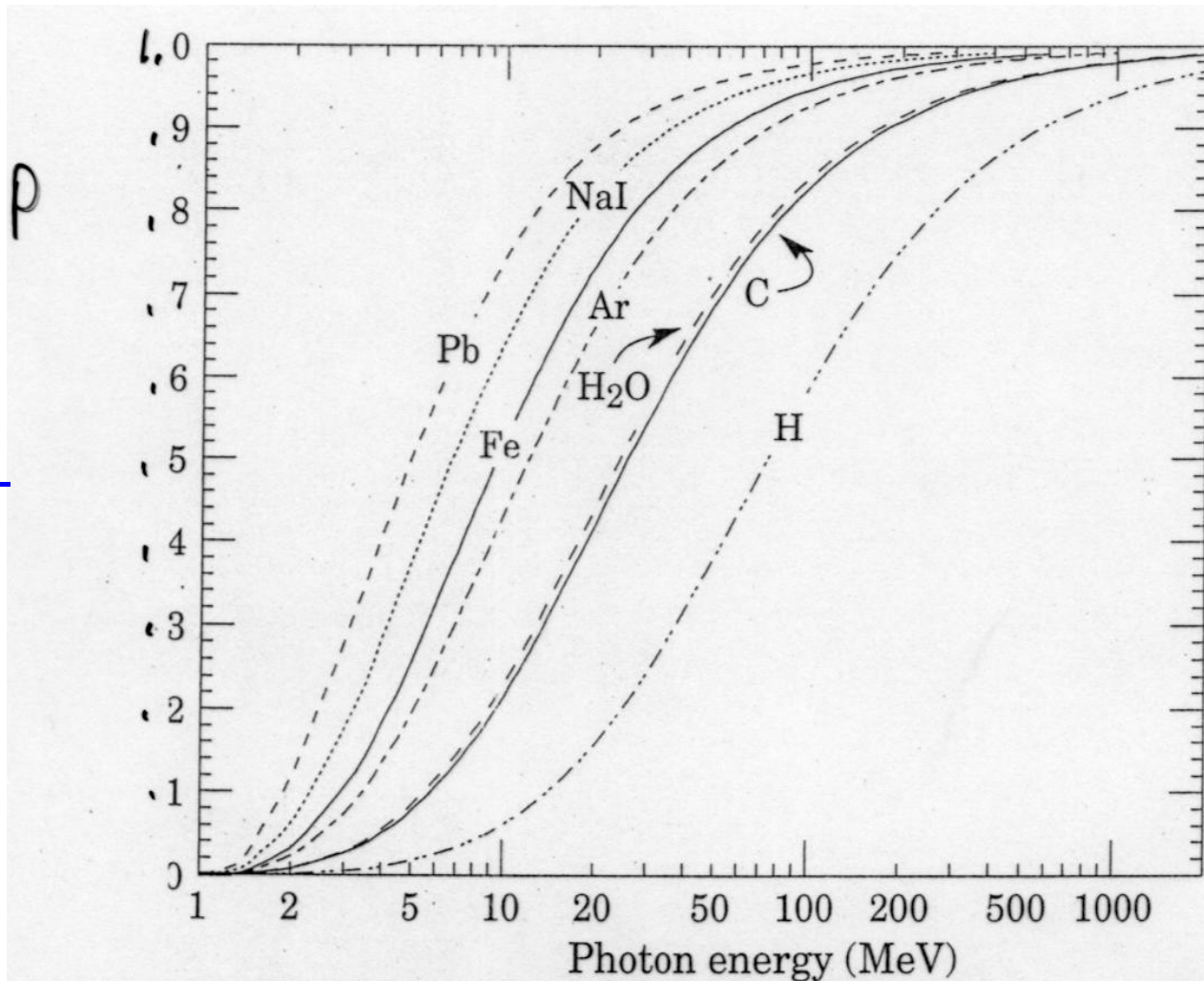


figure 26.16: Probability P that a photon interaction will result in conversion to an e^+e^- pair. Except for a few-percent contribution from photonuclear absorption around 10 or 20 MeV, essentially all other interactions in this energy range result in Compton scattering off an atomic electron. For a photon attenuation length λ (Fig. 26.15), the probability that a given photon will produce an electron pair (without first Compton scattering) in thickness t of absorber is $P[1 - \exp(-t/\lambda)]$.

Photon Massenabsorptionslänge $\lambda=1/(\mu/\rho)$ = mittlere freie Weglänge

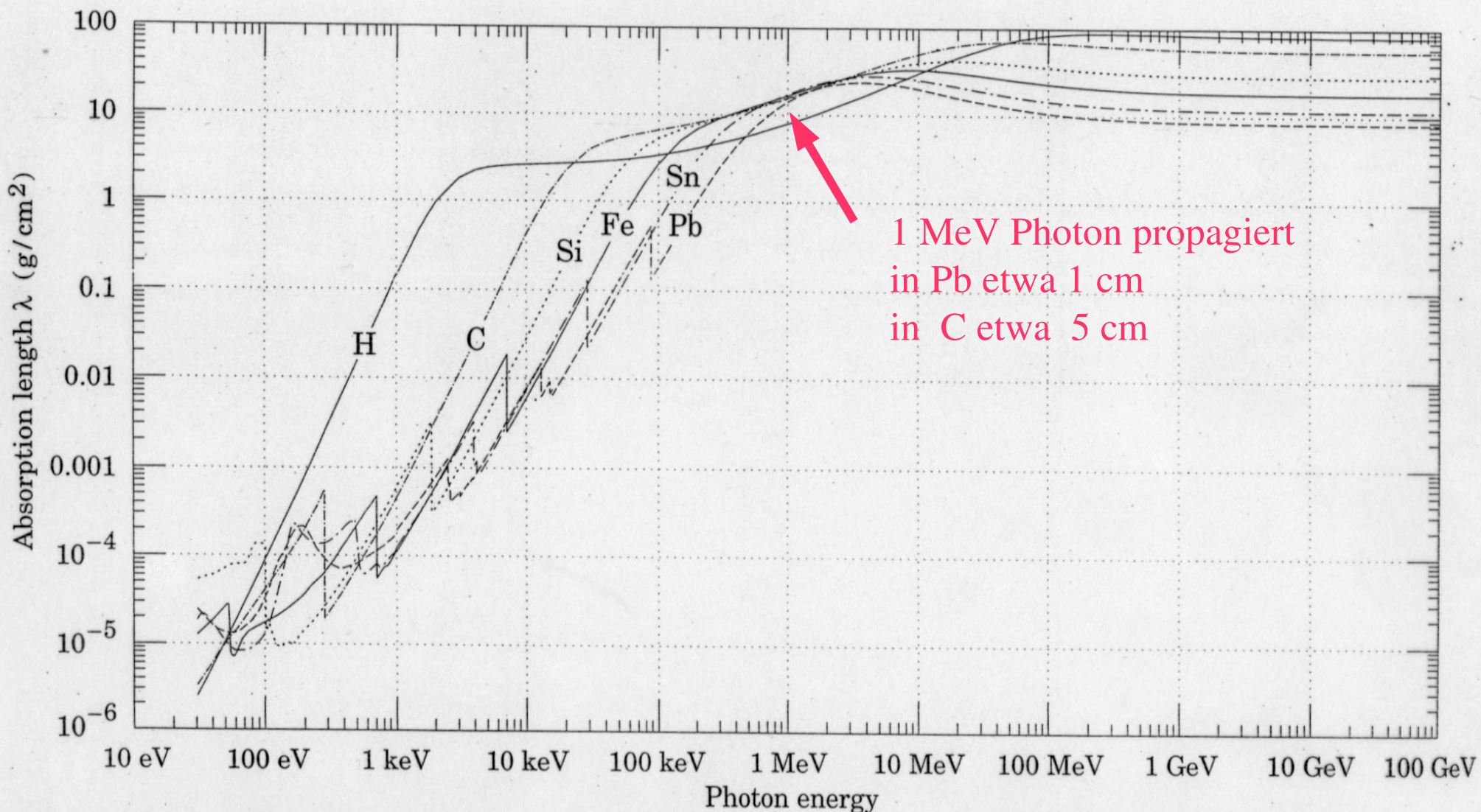
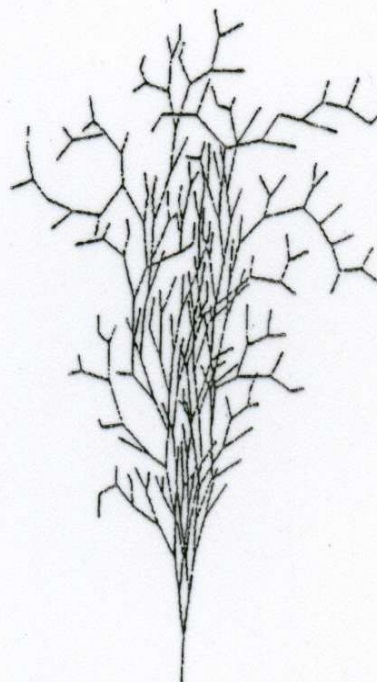


Fig. 26.15: The photon mass attenuation length (or mean free path) $\lambda = 1/(\mu/\rho)$ for various elemental absorbers as a function of photon energy. The mass attenuation coefficient is μ/ρ , where ρ is the density. The intensity I remaining after traversal of thickness t (in mass/unit area) is given by $I = I_0 \exp(-t/\lambda)$. The accuracy is a few percent. For a chemical compound or mixture, $1/\lambda_{\text{eff}} \approx \sum_{\text{elements}} w_Z/\lambda_Z$, where w_Z is the proportion by weight of the element with atomic number Z . The processes responsible for attenuation are given in not Fig. 26.9. Since coherent processes are included, not all these processes result in energy deposition. The data for $30 \text{ eV} < E < 1 \text{ keV}$ are obtained from http://www-cxro.lbl.gov/optical_constants (courtesy of Eric M. Gullikson, LBNL). The data for $1 \text{ keV} < E < 100 \text{ GeV}$ are from <http://physics.nist.gov/PhysRefData>, through the courtesy of John H. Hubbell (NIST).

Elektromagnetischer Schauer:



Betriebsmoden von Gasdetektoren je nach E-Feld

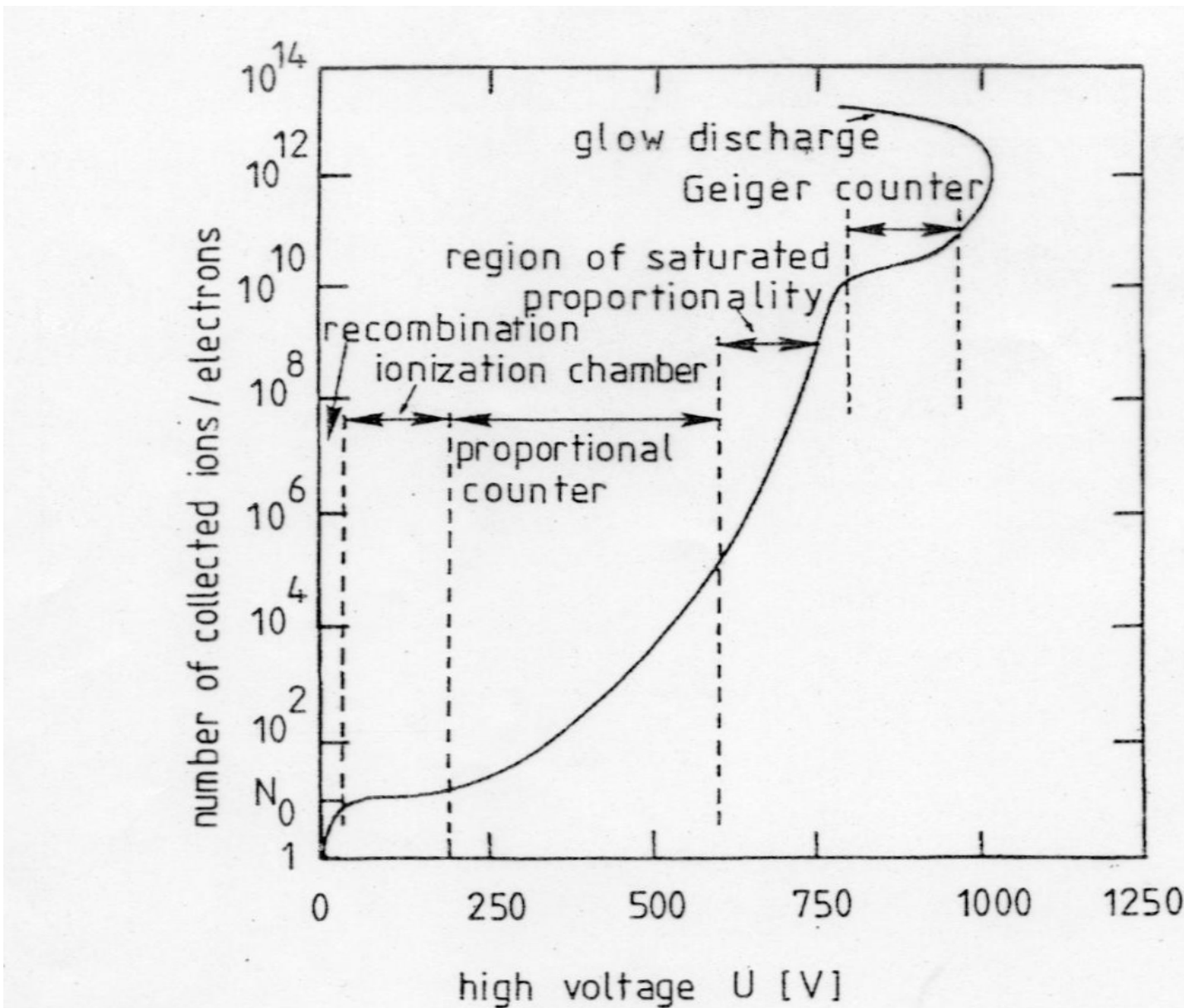


Fig. 4.21. Characterization of the modes of operation of cylindrical gas detectors (after [51]).

Ionisationskammer

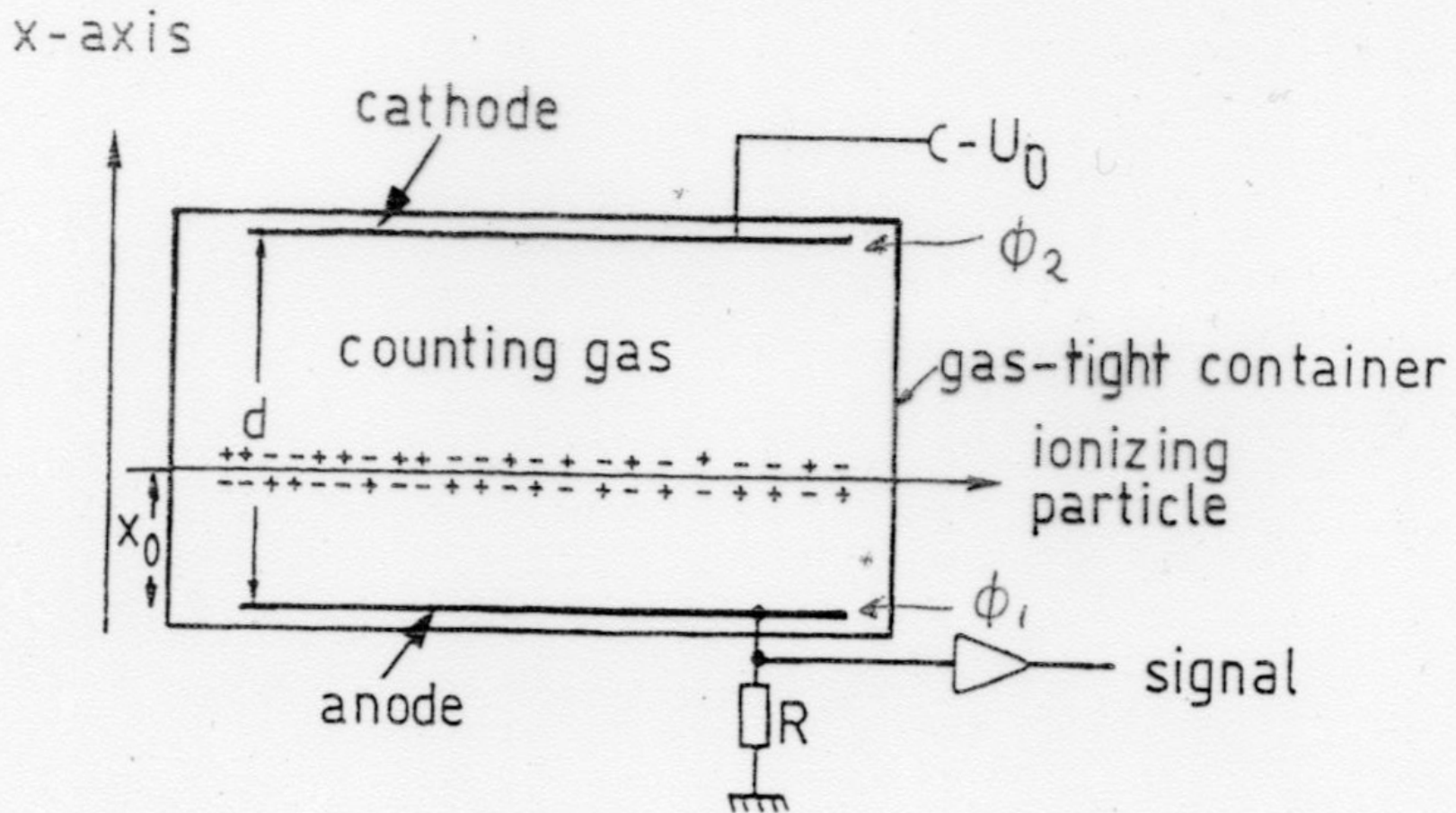


Fig. 4.1. Principle of operation of a planar ionization chamber.

Gasverstärkung in der Nähe eines Anodendrahtes:

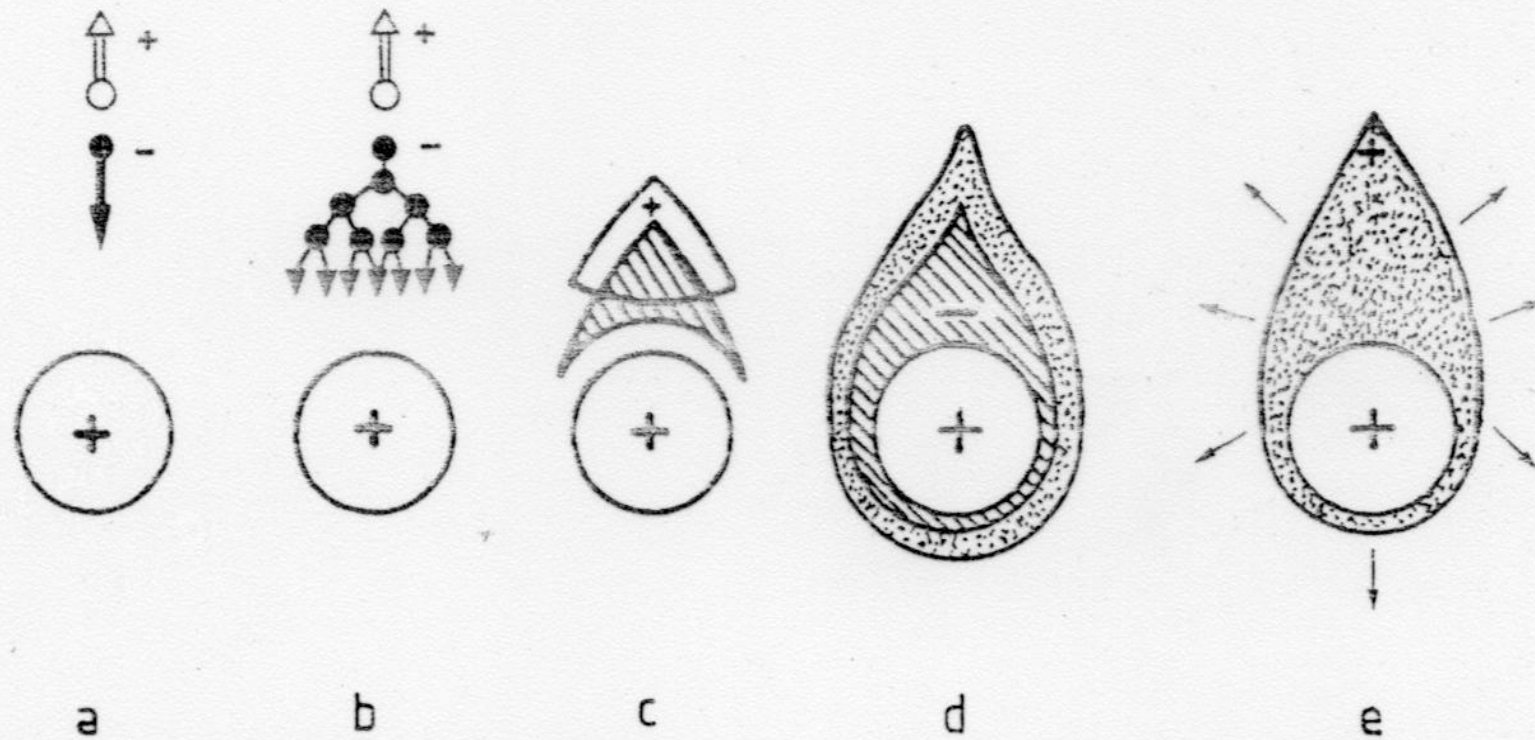


Fig. 4.27. Temporal and spatial development of an electron avalanche [51, 186].

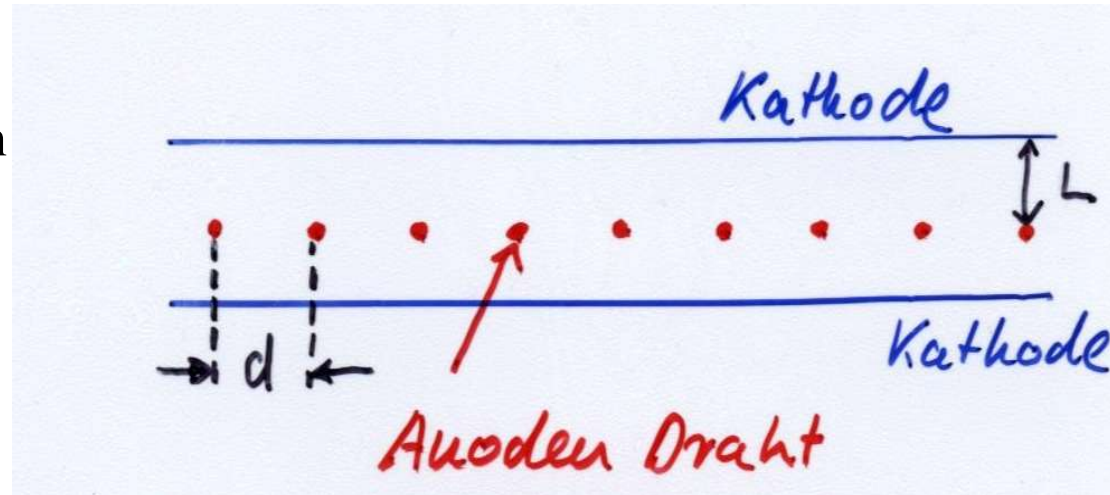
Elektronen der Lawine erzeugen sehr schnelles und kleines Signal
(kurze Driftstrecke)

induziertes Signal hauptsächlich durch langsame Ionendrift

Vieldrahtproportionalkammer

G. Charpak et al. NIM 62 (1968) 202 Nobelpreis 1992, Rev. Mod. Phys. 65 (1993) 591

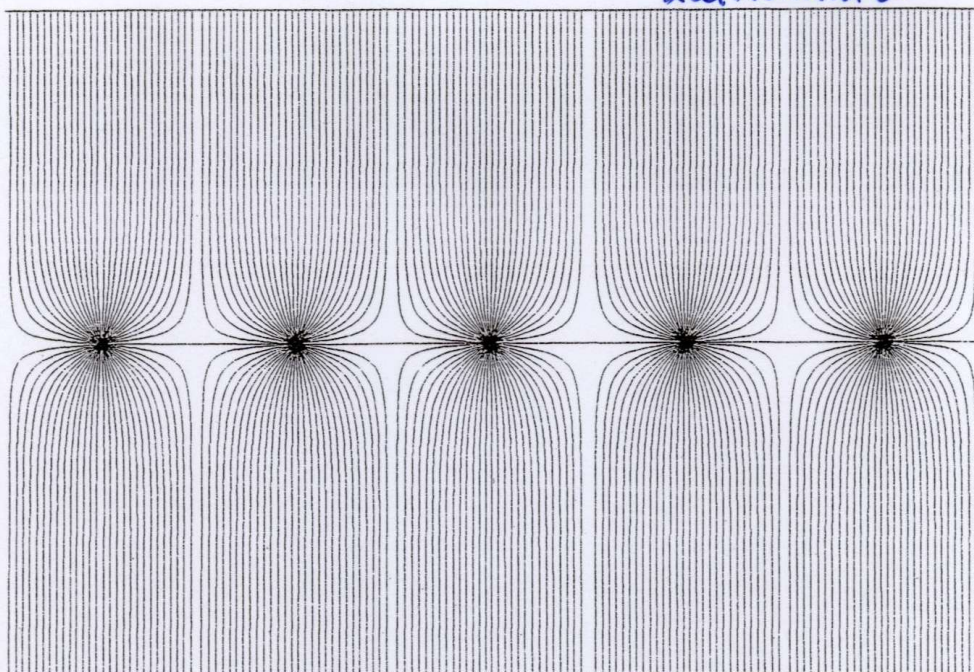
planare Anordnung von
vielen Proportionalzählern
ohne Trennwände



a)

Typischer Feldverlauf

Vieldrahtproportio-
nalkammer



typische Parameter:

$$d = 2 - 4 \text{ mm}$$

$$r_i = 20 - 25 \mu\text{m}$$

$$L = 3 - 6 \text{ mm}$$

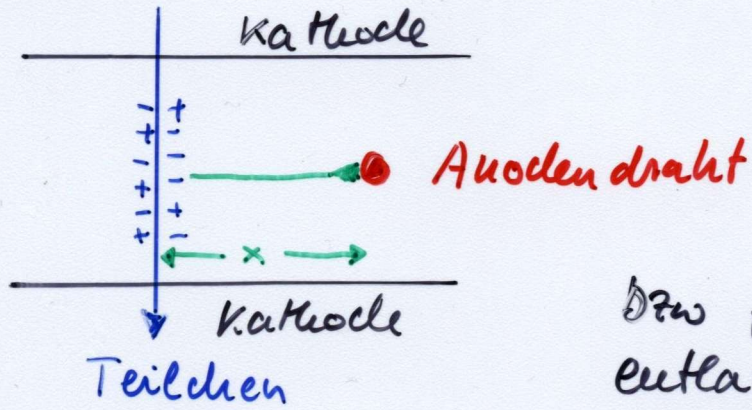
$$U_0 = \text{several kV}$$

totale Fläche: m^2

Driftkammer

A. Walenta, J. Heintze 1970 Phys. Inst. Univ. Heidelberg (NIM 92 (1971) 373)

Prinzip:



Zeitmessung

$$x = \bar{v}_0 \cdot \Delta t$$

↑
Driftgeschwindigkeit

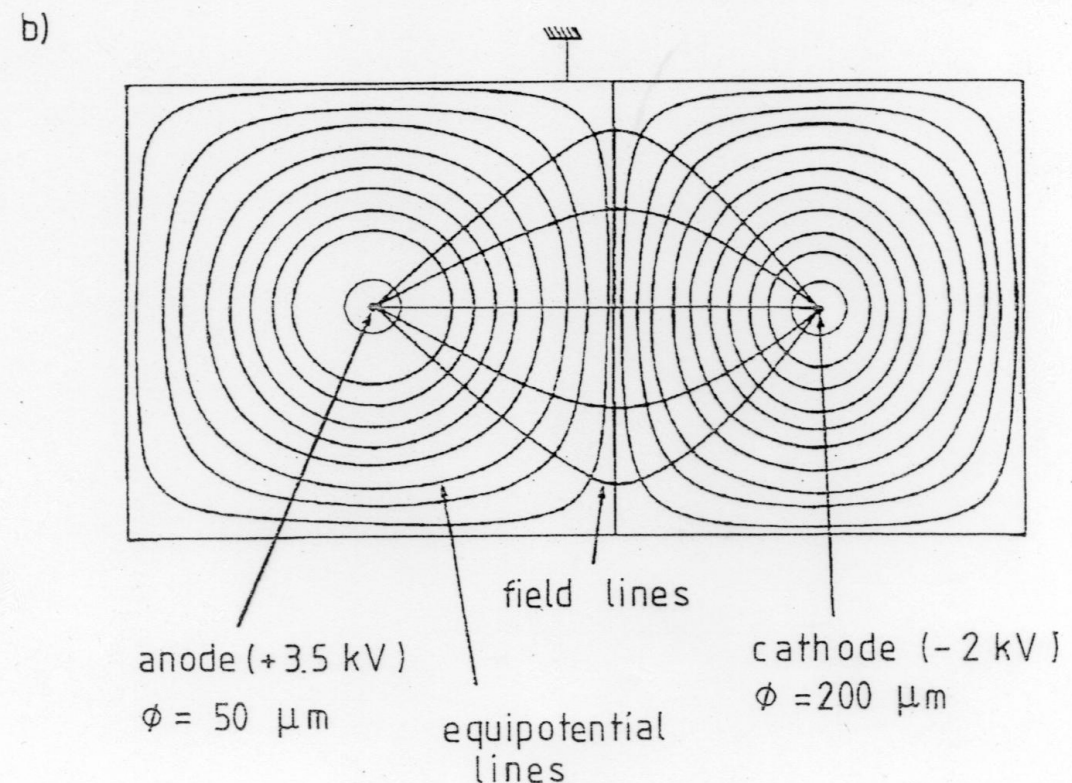
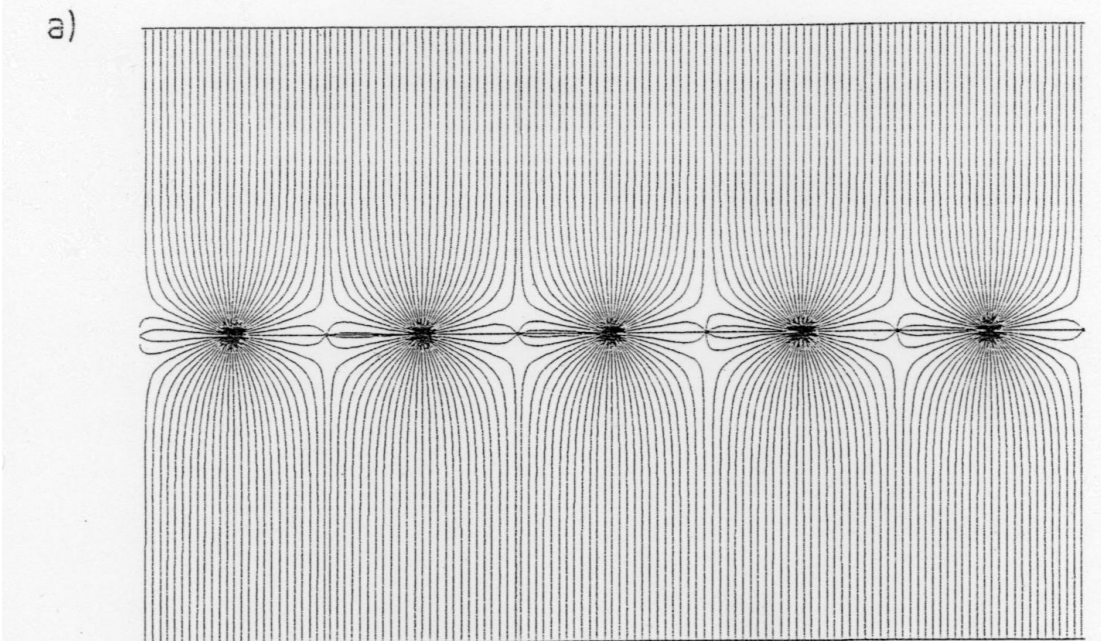
Dazu falls sich Driftgeschw.
entlang des Weges ändert

$$x = \int v_0(t) dt$$

in MWPC zwischen Anoden-Drähten
Regionen mit sehr niedrigem E-Feld

Einführung zusätzlicher Felddrähte
mit negativem Potential verbessert
Feldqualität dramatisch

essentiell für Driftkammer in der
Ortsauflösung bestimmt durch
Driftzeitvariationen und nicht durch
Struktur der segmentierten Elektrode



Zylindrische Kammern im Magnetfeld betrieben → Messung des Krümmungsradius einer Teilchenspur → Impulsmessung (innerhalb eines einzigen Detektors)

$$p \text{ (GeV/c)} = 0.3 \cdot B \text{ (T)} \cdot \rho \text{ (m)}$$

Prinzip einer zylindrischen Driftkammer: Drähte in axiale Richtung (parallel zu kollidierenden Teilchen und dem Magnetfeld)

alternierende Anoden-

Felddrähte

- je ein Felddraht zwischen 2 Anodendrähten
- zylindrische Lagen von Felddrähten zwischen Lagen von Anodendrähten
- > gut geformte Driftzellen

